



## تجزیه و تحلیل آسیب پذیری آب زیرزمینی در آبخوان الشتر براساس پارامترهای وزنی با استفاده از آمار دو متغیره و مدل SI مبتنی بر GIS

معصومه یوسفوند<sup>۱\*</sup>، حسین زینیوند<sup>۲</sup>، فاطمه یوسفوند<sup>۲</sup>

- ۱- دانشجوی کارشناسی ارشد آبخیزداری، دانشکده کشاورزی و منابع طبیعی، دانشگاه لرستان
- ۲- استادیار گروه آبخیزداری، دانشکده کشاورزی و منابع طبیعی، دانشگاه لرستان
- ۳- کارشناسی ارشد سازه‌های آبی، دانشکده کشاورزی، دانشگاه تربیت مدرس

### چکیده :

امروزه علاوه بر بهره‌برداری بی رویه از آبهای زیرزمینی که باعث افت شدید سطح آب شده است، فعالیت‌های کشاورزی، صنعتی و شهری آلاینده‌های مختلفی را به سفره‌های آب زیرزمینی تحمیل می‌کند. با توجه به اهمیت دشت الشتر در تامین آب کشاورزی، شرب و صنعت منطقه از یک روش جدید مبتنی بر سیستم اطلاعات مکانی (GIS)، برای محاسبه پارامترهای وزنی با استفاده از آمار دو متغیره با تلفیقی از مدل SI برای ارزیابی آسیب پذیری آبخوان دشت الشتر استفاده شد. در گام نخست از ۱۴ پارامتر عمق تا سطح ایستابی، شبی، کاربری اراضی، جهت، انحصار، شاخص رطوبت توپوگرافی (TWI)، فاصله از گسل، فاصله از آبراهه، تراکم زهکشی، بافت خاک، بارندگی، سنگ شناسی، شاخص توان جریان (SPI) و فاصله از منظور ارزیابی آسیب پذیری آبخوان منطقه استفاده شد. در گام دوم، تمامی لایه‌ها و نقشه‌های مورد نیاز مدل همراه با داده‌های عمق آب زیرزمینی و ارتفاع مطلق نقطه نشانه مربوط به ۵۵ چاه مشاهده‌ای در پایگاه نرم افزار ArcGIS10.2 تهیه شدند. سپس به منظور بررسی روابط بین پارامترها در چاه‌های انتخابی منطقه، تراکم چاه و موقع مطلق آن‌ها برای هر کلاس از هر پارامتر محاسبه و در پایان شاخص روش آماری (SI) برای هر پارامتر تهیه گردید. با تلفیق لایه‌های فوق، نقشه نهایی آسیب‌پذیری آبخوان دشت الشتر تهیه شد. نتایج این تحقیق نشان می‌دهد که مناطق شمالی دشت از پتانسیل آسیب‌پذیری زیادی برخوردار بوده و نواحی مرکزی کمترین پتانسیل را دارند.

واژه‌های کلیدی : آبخوان الشتر، آسیب پذیری، آمار دو متغیره، پارامترهای وزنی، GIS، SI



## ۱- مقدمه

منابع آب زیرزمینی دومین منبع آب شیرین موجود در جهان محسوب می‌گردد، که عمدۀ نیازهای آبی را تحت پوشش قرار می‌دهد. حدود یک سوم جمعیت جهان وابسته به آب زیرزمینی بوده و بیش از ۷۰ درصد آن به مصرف کشاورزی می‌رسد. آب زیرزمینی به دلیل استعداد آلودگی کمتر و همچنین ظرفیت ذخیره زیاد نسبت به آب‌های سطحی، به عنوان یک منبع مهم در منابع آب مورد توجه است [۱]. توسعه کشاورزی و صنعت افزایش برداشت از منابع مذکور را در پی دارد و برداشت بی رویه موجب افت سطح آب زیرزمینی در آبخوان می‌شود که مشکلاتی مانند خشک شدن چاهها، کاهش دبی رودخانه‌ها و آب دریاچه‌ها، تنزل کیفیت آب، افزایش هزینه پمپاژ، استحصال آب و از همه مهم‌تر باعث تخریب آبخوان می‌گردد.

یکی از مهم‌ترین منابع آبی آسیب‌پذیر در برابر آلودگی، آبخوان‌ها هستند. این منابع به شکل‌های مختلف در معرض آلودگی قرار دارند که تشخیص و کنترل آلودگی در آن‌ها نسبت به آب‌های سطحی مشکل‌تر و پرهزینه است. همچنین به دلیل استمرار آلودگی در این منابع، بهترین روش جلوگیری از آلودگی آن‌ها، شناسایی منابع آلوده کننده و مناطق آسیب‌پذیر، تهیه نقشه‌های پنهانه بندی آسیب‌پذیری و اتخاذ سیاست‌های مدیریتی مناسب می‌باشد [۲ و ۳]. مفهوم آسیب‌پذیری برای اولین بار در اواخر سال ۱۹۶۰ میلادی در فرانسه ارائه شده است [۴]. امکان نفوذ و انتشار آلاینده‌ها به درون سیستم آب زیرزمینی را آسیب‌پذیری می‌نامند. آسیب‌پذیری به عنوان یک استعداد ذاتی سیستم آب زیرزمینی در نظرگرفته می‌شود که وابسته به میزان حساسیت این سیستم به تاثیرات انسانی و یا طبیعی می‌باشد. به همین دلیل مدیریت منابع آب به ویژه آب‌های زیرزمینی، در مناطق خشک و نیمه خشک از اهمیت خاصی برخوردار است. عوامل مختلف طبیعی و انسانی در چند دهه اخیر باعث ایجاد شرایط بحرانی و افت سطح آب‌های زیرزمینی در بیشتر منطقه‌های کشور از جمله استان لرستان شده است.

شکری و همکاران (۱۳۹۲)، در بررسی تغییرات بیلان آب زیرزمینی دشت الشتر، میزان افت طی دوره آماری ۱۰ ساله ۸۱-۹۱ را برابر با ۷/۳ متر برآورد نمودند. نتایج کار این محققین نشان داد که بیلان آب زیرزمینی دشت الشتر منفی شده و کل کسری آب زیرزمینی آبخوان دشت در طی بازه ۱۰ سال، ۱۸/۵ درصد مربوط به توزیع و پراکندگی نامناسب زمان بارش و ۶۱ درصد مربوط به صدور مجوز و تخصیص ناصحیح منابع آب بوده است [۵]. جعفری و همکاران (۱۳۹۴)، به منظور ارزیابی آسیب‌پذیری آبخوان دشت الشتر نسبت به آلودگی‌های زیست محیطی با استفاده از مدل SI از ۵ پارامتر عمق تا سطح ایستابی، محیط آبخوان، توپوگرافی شبی، تغذیه خالص و کاربری اراضی جهت ارزیابی آسیب‌پذیری آبخوان منطقه استفاده نمودند [۶].

چیتسازان و اختری (۲۰۰۶)، به منظور تعیین نقاط مستعد در برابر آلودگی در آبخوان دشت‌های زویرچری و خران در شمال شرق اهواز از مدل DRASTIC در محیط سیستم اطلاعات مکانی<sup>۱</sup> (GIS) استفاده کردند و به این نتیجه رسیدند که بخش غرب و جنوب غربی آبخوان در محدوده آسیب‌پذیری متوسط و نواحی کوچکی در شمال غرب و شرق منطقه مورد مطالعه در محدوده بدون خطر آلودگی قرار می‌گیرد. آن‌ها همچنین پی برند که پارامتر منطقه غیر اشبع بیشترین تأثیر را بر روی آسیب‌پذیری آبخوان داشته و به دنبال آن، عمق سطح ایستابی، تغذیه خالص، محیط خاک، منطقه اشبع، توپوگرافی و هدایت هیدرولیکی در رده‌های بعدی قرار می‌گیرند [۱]. حمزه و همکاران (۲۰۰۷)، در منطقه متلاین-راس<sup>۲</sup> در شمال تونس با استفاده از مدل‌های SI، SINTACS و DRASTIC به بررسی نواحی با بیشترین پتانسیل آلودگی آب زیرزمینی پرداختند. بر طبق نتایج بدست آمده، مدل SI در مقایسه با سایر مدل‌های ذکر شده کارایی بیشتری در تعیین نقاط مستعد آلودگی دارد، روش‌های DRASTIC و SINTACS ماهیت آلینده و

<sup>1</sup> Geographic information System

<sup>2</sup> Metline-Ras



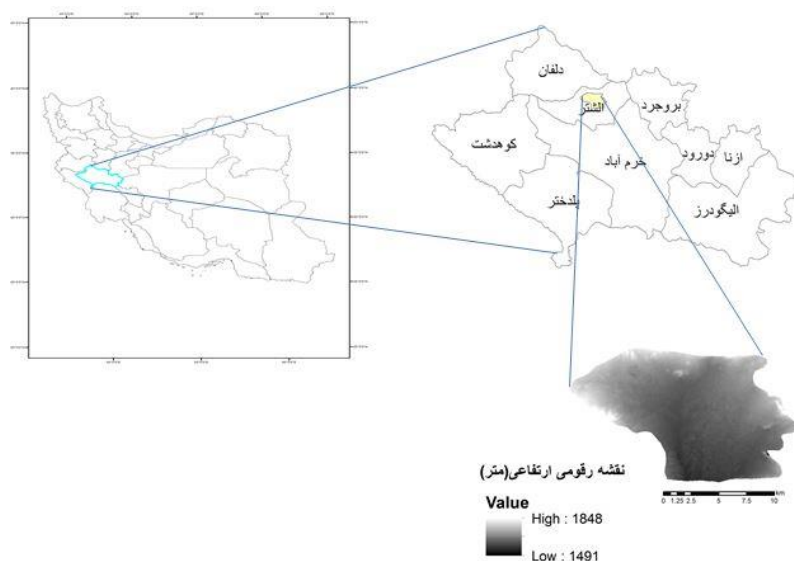
کاربری زمین را به عنوان عامل مدیریتی آسیب‌پذیری ویژه در نظر نمی‌گیرند [۷]. حمزه و ادد (۲۰۰۹) برای تعیین پتانسیل آسیب‌پذیری آب زیرزمینی در منطقه‌ای اوئد گیونیچه<sup>۳</sup> در شمال تونس، انجام دادند به این نتیجه رسیدند که مدل SI روش مفیدتری برای مطالعه پتانسیل آلودگی در ناحیه مورد مطالعه می‌باشد [۸]. حمزه و ادد (۲۰۰۹)، در پژوهشی دیگر جهت ارزیابی آسیب‌پذیری آبخوان phreatic در شمال شرق تونس از دو روش DRASTIC و SI که روش‌های خاص آسیب‌پذیری می‌باشند استفاده نمودند. این مطالعه در محیط GIS به عنوان یک سیستم برای جمع آوری، ذخیره‌سازی و تجزیه و تحلیل اطلاعات جغرافیایی انجام گرفت. اعتبار دو روش برای آلودگی نیترات کشاورزی با مقایسه توزیع نیترات تایید شد. نتایج حاکی از متفاوت بودن توزیع طبقات آسیب‌پذیری در آب‌های زیرزمینی و معرفی روش SI به عنوان روش معتبر در ارزیابی آسیب‌پذیری آبخوان مورد مطالعه است [۹]. مینهاردت و همکاران (۲۰۱۴)، به منظور تجزیه و تحلیل آسیب‌پذیری زمین لغزش در مرکز ویتنام بر اساس محاسبه پارامترهای وزنی از آمار دو متغیره استفاده نمودند. در این پژوهش یافتن پارامتر ورودی بهتر، از طریق حذف دیگر پارامترها صورت گرفته شده است. بعد از بهینه سازی نه پارامتر ورودی که با استفاده از روش خطای حذف کردن وزن دار شده‌اند، بهترین نقشه پهن‌بندی با میزان موققتی ۹۲/۲ درصد و نرخ پیش‌بینی ۹۲/۳ درصد ارائه شد [۱۰].

هدف از انجام این مطالعه، تهیه نقشه آسیب‌پذیری در منطقه دشت الشتر می‌باشد. با توجه به اهمیت دشت مذکور در تامین آب شرب، صنعت و کشاورزی منطقه، با استفاده از مدل SI نسبت به شناسایی مناطق آسیب‌پذیر اقدام گردید تا در مناطقی با آسیب‌پذیری بیشتر از مکان‌گزینی صنایع آلودگی جلوگیری گردد. علاوه بر این به منظور اطمینان از این که آبخوان این دشت بتواند به عنوان منبع تامین آب سالم در منطقه باقی بماند، ضروری است تا مکان‌هایی که بیشتر مستعد دریافت و انتقال آلودگی هستند شناسایی شوند.

## ۲- منطقه مورد مطالعه

با توجه به این که دشت الشتر یکی از دشت‌های مهم استان لرستان از دیدگاه کشاورزی محسوب می‌شود، برای مطالعه در این تحقیق انتخاب گردید. حوزه آبخیز الشتر از زیر حوزه‌های رودخانه کشکان می‌باشد و حوزه آبخیز رودخانه کشکان جزئی از حوزه آبخیز کرخه از حوزه‌های آبخیز اصلی کشور است. این محدوده بین طول جغرافیایی "۳۱°۳۰'۰۰" و "۴۸°۳۳'۰۰" شمالی قرار دارد. از نظر پستی و بلندی ارتفاع متوسط دشت از سطح دریا حدود ۱۵۸۰ متر می‌باشد. وسعت حوزه آبخیز ۸۱۱ کیلومتر مربع و وسعت دشت آن ۱۶۳/۸۹ کیلومتر مربع می‌باشد. بارندگی متوسط سالانه دشت ۵۵۴ میلی متر و دمای متوسط سالانه ۸/۸ درجه سانتیگراد است. اقلیم محدوده با در نظر گرفتن سیستم اقلیمی آمریزه دارای اقلیم نیمه خشک سرد و ارتفاعات می‌باشد. سفره آبدار اصلی دشت الشتر را رسوبات آبرفتی تشکیل می‌دهد. در حال حاضر ضخامت قسمت اشباع آبخوان آبرفتی به حدود ۵۰ مترمی‌رسد [۱۱]. کاربری اراضی دشت به صورت اراضی کشاورزی آبی است که در حاشیه شمالی باغات میوه می‌باشند (شکل ۱).

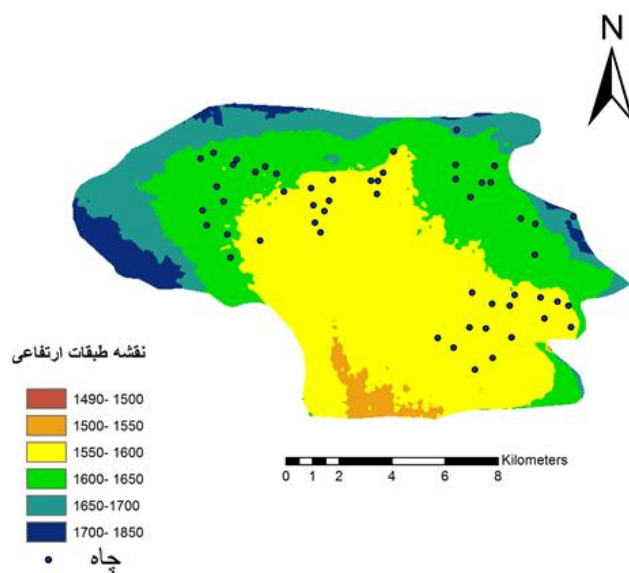
<sup>۳</sup> Oued Gueniche



شکل ۱- موقعیت منطقه مورد مطالعه در کشور و استان لرستان

### ۳- مواد و روش‌ها

به منظور تهیه نقشه آسیب‌پذیری آبخوان دشت الشتر در محیط سیستم اطلاعات مکانی (GIS)، مراحل ساختن پایگاه داده، پردازش لایه‌های ورودی و تلفیق نقشه‌های معیار اعمال گردید. برای ساخت پایگاه داده، داده‌های مورد نیاز برای تهیه نقشه‌های معیار تهیه گردید و به فرمت قابل قبول برای ورود به نرم افزار ArcGis تبدیل شد. بزرگترین مزیت تهیه نقشه با استفاده از GIS، امکان انجام بهترین ترکیب و ادغام لایه‌های اطلاعاتی و تغییر سریع در پارامتر داده‌های استفاده شده در طبقه‌بندی استعداد آسیب‌پذیری یک آبخوان است (Wang و همکاران، ۲۰۰۷). هدف نهایی از تهیه نقشه معیار، تلفیق آن‌ها و به دست آوردن نقشه آسیب‌پذیری منطقه می‌باشد. در این پژوهش جهت تجزیه و تحلیل آسیب‌پذیری آب زیرزمینی ابتدا داده‌های عمق آب زیرزمینی و ارتفاع مطلق نقطه نشانه مربوط به ۵۵ چاه مشاهده‌ای در محدوده مورد مطالعه، از شرکت آب منطقه‌ای استان لرستان اخذ شد که بعد از بازبینی تعدادی از چاه‌ها به دلیل نقص آماری حذف شدند. پایه زمانی مشترک جهت مطالعه، سال آبی ۱۳۷۹-۸۰ تا سال آبی ۱۳۸۸-۸۹ انتخاب گردید (شکل ۲).



شکل ۲- موقعیت محدوده آبخوان الشتر و چاه‌های مشاهده‌ای برای آنالیز‌های کیفی



### ۱-۱- تجزیه و تحلیل داده‌های ورودی

برای تجزیه و تحلیل آسیب‌پذیری آب زیرزمینی پارامترهای شرطی را به عنوان ورودی معرفی می‌کنیم. به منظور بررسی روابط بین پارامترها در چاههای انتخابی منطقه، تراکم چاه و موقع مطلق آن برای هر کلاس از هر پارامتر با استفاده از روابط ۱ و ۲ محاسبه می‌شود.

$$\text{تعداد چاه هر کلاس} \times 100 = \frac{\text{موقع مطلق}}{\text{تعداد کل چاهها}} \quad (1)$$

$$\frac{\text{تعداد چاه هر کلاس}}{\frac{\text{تعداد پیکسل هر کلاس}}{\sum \text{تعداد پیکسل کلاس}}} \times 100 = \frac{\text{تراکم چاه}}{\text{تراکم گستردگی کلاس}} \quad (2)$$

با توجه به این روابط، عامل موقع مطلق چاههای منطقه تحت تاثیر گستردگی کلاس هاست. از بین دو عامل اصلی فوق تراکم چاههای منطقه به علت آنکه با منطقه طبقاتی نرمال می‌شود معیار بهتری است [۱۰].

### ۲- نقش پارامترهای وزنی با استفاده از آمار دومتغیره و مدل SI در ارزیابی آسیب‌پذیری آبخوان

به منظور بررسی آسیب‌پذیری آب زیرزمینی در این تحقیق، از ۱۴ پارامتر عمق تا سطح ایستابی، شیب، کاربری اراضی، جهت، انحنا، شاخص رطوبت توپوگرافی (TWI)، فاصله از گسل، فاصله از آبراهه، تراکم زهکشی، بافت خاک، بارندگی، سنگ شناسی، شاخص توان جریان (SPI) و فاصله از جاده استفاده شد، که در ادامه به تشریح هر یک می‌پردازیم.

شاخص رطوبت توپوگرافی<sup>۴</sup>: (TWI)

شاخص رطوبت توپوگرافی که از ترکیب مساحت حوضه بالادست و شیب بدست می‌آید، معمولاً برای کمی کردن کنترل توپوگرافی بر روی فرآیندهای هیدرولوژیکی می‌باشد. اگرچه روش‌های مختلفی برای محاسبه این شاخص وجود دارد، این روش‌های محاسباتی اصولاً در الگوریتم جهت جریان برای محاسبه مساحت حوضه بالادست و تخمین مقدار شیب با هم اختلاف دارند. در نهایت مناطقی که در یک حوضه مقدار TWI مشابهی داشته باشند، در صورتی که شرایط محیطی دیگر آنها (مانند خاک، پوشش گیاهی) یکسان باشد، فرض می‌شود که پاسخ هیدرولوژیکی مشابهی به باران داشته باشند و می‌توانند یکسان تلقی شوند [۱۳]. شاخص رطوبت توپوگرافی از رابطه ۳ محاسبه می‌شود:

$$TWI = \ln \frac{a}{\tan \beta} \quad (3)$$

که در آن  $a$ : سطح ویژه حوضه بر حسب مساحت تجمعی بالادست (مساحت بالادست در واحد طول خط تراز) و  $\beta$ : درجه شیب می‌باشد.

شاخص توان جریان<sup>۵</sup>: (SPI)

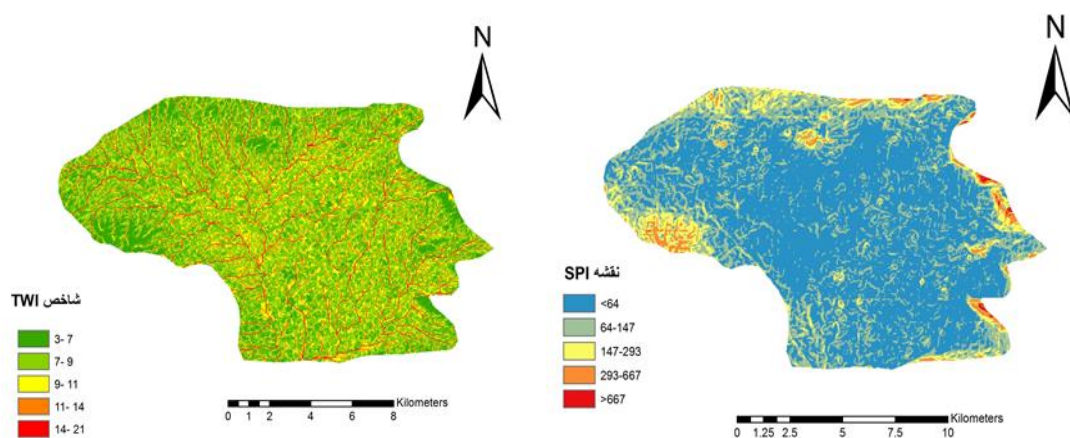
این شاخص میزان قدرت مخرب جریان زمینی است که رابطه بین شیب و مساحت را بیان کرده و مکان‌های مستعد ایجاد خندق را که باعث رانش زمین می‌شود نشان می‌دهد. SPI با استفاده از رابطه <sup>۴</sup> قابل محاسبه است. شکل ۳ نقشه‌ی شاخص رطوبت توپوگرافی و شاخص توان جریان را برای آبخوان الشتر نشان می‌دهد.

<sup>4</sup> Topographic Wetness index  
<sup>5</sup> Stream Power Index



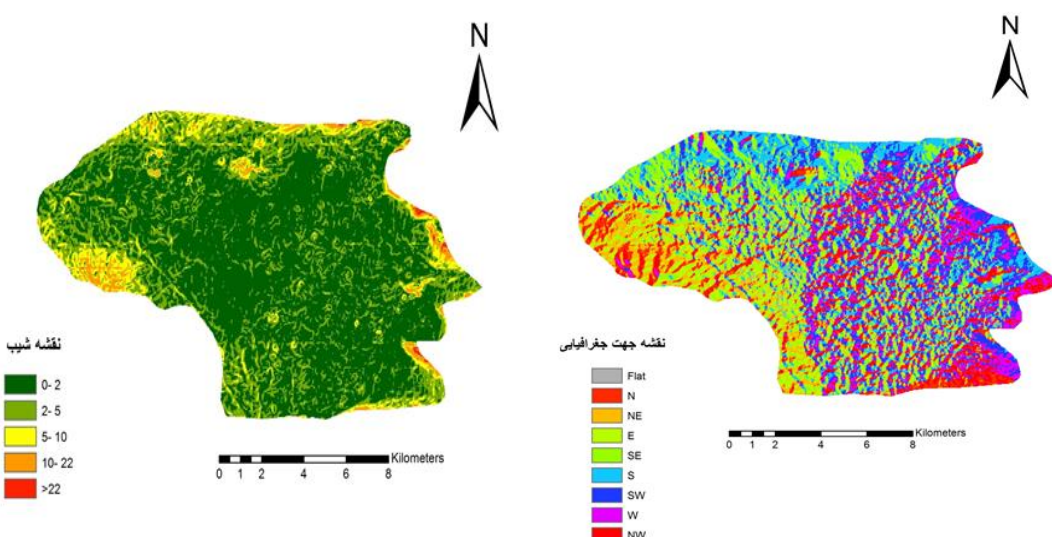
$$SPI = a \tan \beta$$

(۴)



شکل ۳- نقشه شاخص رطوبت توپوگرافی (TWI) و شاخص توان جریان (SPI) منطقه مورد مطالعه

شیب همان تندی یا گرادیان واحدی از زمین است که به صورت زاویه و بر حسب درجه یا درصد اندازه‌گیری می‌شود. جهت طرفی است که واحدی از زمین در آنسو گسترش یافته است. این دو متغیر در بسیاری از کاربردهای سامانه‌های اطلاعات مکانی حائز اهمیت هستند. شیب و جهت شیب بر طبق نوع DTM بکار رفته محاسبه می‌شوند. در شکل ۴ گرادیان شیب به پنج دسته طبقه‌بندی شده است. با توجه به دشت‌گون بودن منطقه، بیشتر مساحت حوزه دارای شیبی کمتر ۲٪ می‌باشد.

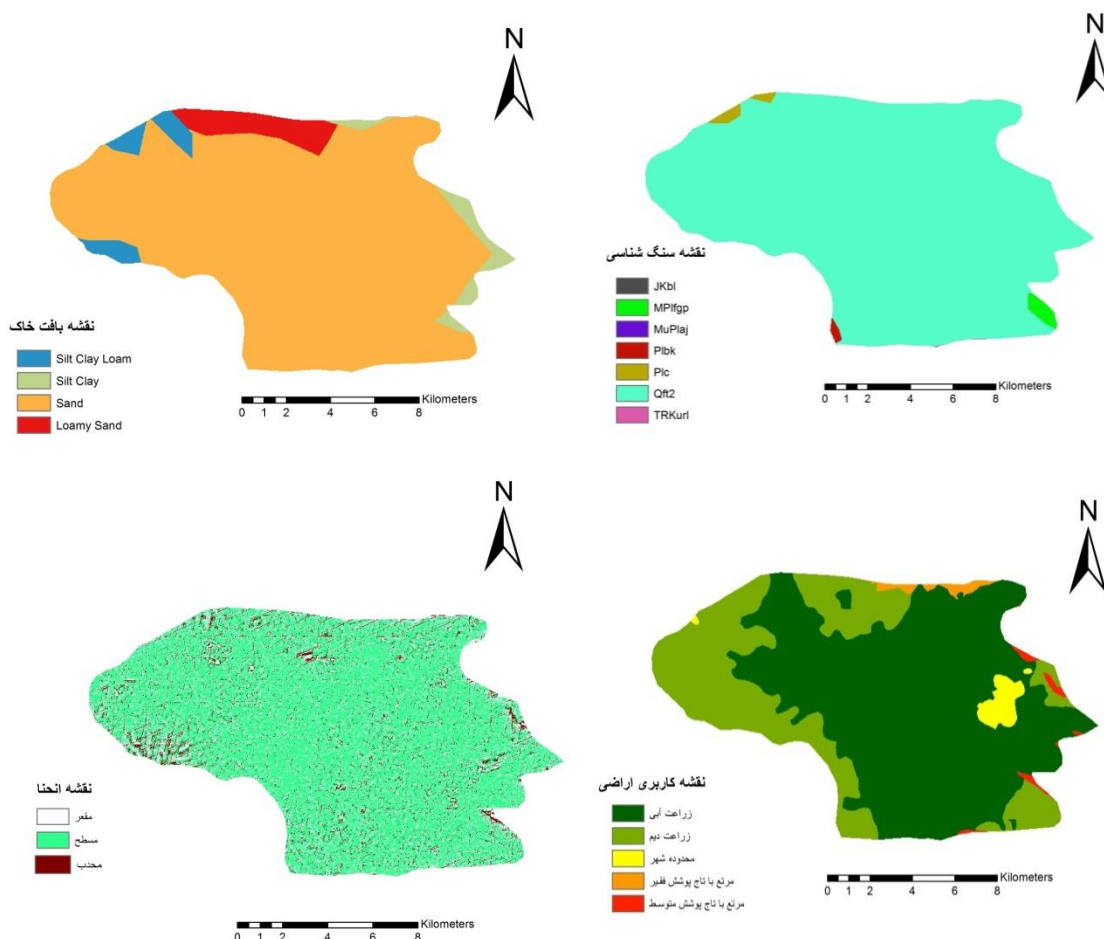


شکل ۴- نقشه شیب (Slope) و جهت شیب (Aspect) منطقه مورد مطالعه

در شکل ۵، چهار پارامتر ورودی نقشه احنا، کاربری اراضی، سنگ شناسی و بافت خاک برای منطقه مطالعاتی نشان داده شده است. بر طبق این شکل نقشه‌ی احنا مانند منطقه به سه دسته طبقه‌بندی شده که نشان می‌دهد بیشترین آمار وجود چاه در مناطق مسطح و به دنبال آن مناطق مقعر می‌باشد، مناطق محدب به دلیل ارتفاع زیاد فاقد چاه می‌باشد. با توجه به نقشه‌ی کاربری منطقه مورد مطالعه، کاربری حائز اهمیت در منطقه زراعت آبی می‌باشد و این در حالی است که بافت خاک غالب منطقه را بافت شنی پوشش می‌دهد.



در شکل ۶، نقشه دیگر پارامترهای ورودی ارزیابی آسیب‌پذیری آبخوان منطقه (فاصله از آبراهه، فاصله از گسل، فاصله از جاده، تراکم زهکشی، بارندگی و عمق سطح ایستابی) نشان داده شده است. عمق سطح ایستابی عبارت است از فاصله سطح زمین تا سطح ایستابی که یکی از مهم‌ترین فاکتورهای مدل SI است؛ زیرا بر اساس آن میزان خطرناکی که آب باید طی کند تا به سطح آبخوان برسد مشخص می‌شود [۱۴]. برای تهیه لایه عمق سطح ایستابی از اندازه‌گیری داده‌های سطح آب ۵۵ حلقه چاه پیزومتر منطقه استفاده شد (شکل ۶).



شکل ۵- چهار پارامتر ورودی نقشه انتنا، کاربری اراضی، سنگ شناسی و بافت خاک

شاخص روش آماری (SI):

روش شاخص آماری برای اولین بار توسط ون وستن<sup>۶</sup> در سال ۱۹۹۷ مطرح شد. این شاخص از رابطه ۵ محاسبه می‌شود:

$$S_i = \ln\left(\frac{Densclass}{Densmap}\right) = \ln\left[\left(\frac{Npix(L_i)}{Npix(N_i)}\right) / \left(\frac{\sum Npix(L_i)}{\sum Npix(N_i)}\right)\right] \quad (5)$$

در این رابطه:

Densclass: تراکم چاه در طبقه پارامتر

<sup>6</sup> Van Westen



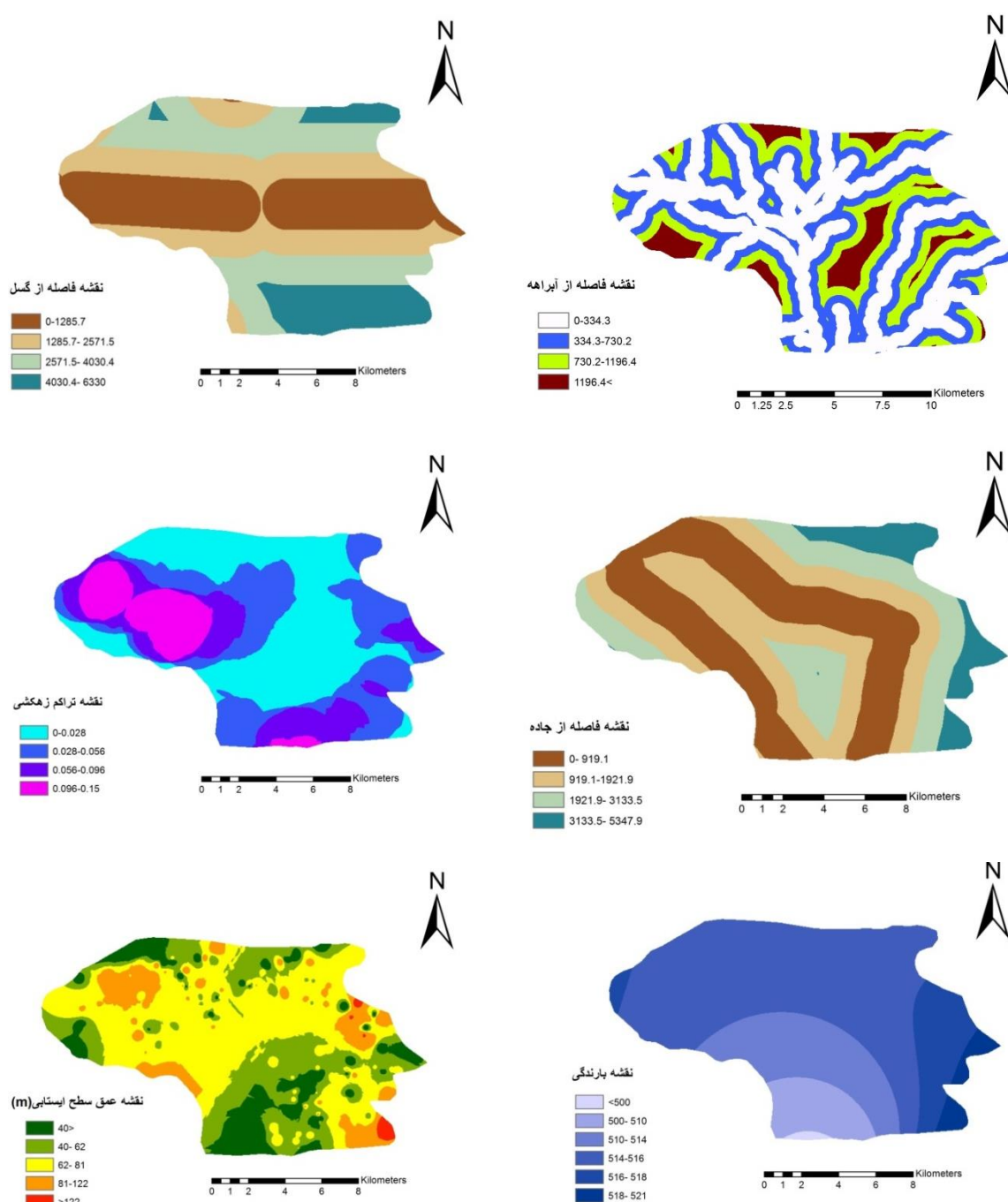
تراکم چاه در کل نقشه: Densmap

تعداد پیکسل‌های حاوی چاه در کلاس پارامتر  $i$  ام:  $N_{pix}(Li)$

تعداد پیکسل در کلاس پارامتر  $i$  ام:  $N_{pix}(Ni)$

تعداد پیکسل حاوی چاه در منطقه مورد مطالعه:  $\sum N_{pix}(Li)$

تعداد کل پیکسل در منطقه مورد مطالعه:  $\sum N_{pix}(Ni)$



شکل ۶- پارامترهای ورودی ارزیابی آسیب پذیری آبخوان منطقه مورد مطالعه



روش عامل وزنی:

ساده‌ترین و رایج‌ترین روش برای بررسی آسیب‌پذیری آب زیرزمینی استفاده از مدل‌های وزن‌دهی است. این روش توسط سویک و تپل<sup>7</sup> در سال ۲۰۰۳ توسعه یافته است. روش عامل وزنی جزئی از شاخص روش آماری (SI) است. در این روش مقدار عامل وزنی (WF) برای هر پارامتر محاسبه شده و پس از آن تعداد پیکسل‌های حاوی چاه در کلاس پارامتر  $i$  ام در عامل SI ضرب می‌شود تا ارزش هر پارامتر بدست بیاید [۱۰].

$$TSi = \sum [Npxi(L_i) \times Si] \quad (6)$$

سپس با استفاده از روش حداقل-حداکثر، این مقادیر در طیف وسیعی از محدوده ۱ تا ۱۰ بدست آمد:

$$WF = \frac{TSi - MinSi}{MaxTSi - MinTSi} \times 9 + 1 \quad (7)$$

که در آن MaxTSi حداکثر مجموع ارزش شاخص وزن و MinTSi حداقل کل مقدار شاخص وزن است.

#### ۴- بحث و نتایج

در این پژوهش برای تجزیه و تحلیل آسیب‌پذیری آب زیرزمینی ابتدا داده‌های عمق آب زیرزمینی و ارتفاع مطلق، نقطه نشانه مربوط به ۵۵ چاه مشاهده‌ای انتخاب شد و سپس پارامترهای ورودی مدل جهت ارزیابی آسیب‌پذیری آبخوان در محیط GIS تهیه گردید. در مرحله بعد به منظور بررسی روابط بین پارامترها در چاههای انتخابی منطقه، تراکم چاه و موقع مطلق آن‌ها برای هر کلاس از هر پارامتر محاسبه شد. با توجه به این‌که روش عامل وزنی جزئی از شاخص روش آماری (SI) می‌باشد، مقدار عامل وزنی (WF) برای هر پارامتر محاسبه شد (جدول ۱). با توجه به جدول ۱ و مقادیر شاخص عامل وزنی هر پارامتر، در منطقه دشت الشتر پارامترهای سنگ شناسی و بارش بیشترین و پارامترهای اتحنا و فاصله از جاده کمترین تاثیر را در تعیین آسیب‌پذیری آبخوان دارد.

<sup>7</sup> Cevik and Topal



جدول ۱- ارتباط بین پارامترهای ورودی مدل و چاه های منطقه

پارامتر	کلاس طبقاتی	تعداد پیکسل هر کلاس	چاه	وقوع مطلق (%)	تراکم چاه (%)	شاخص آماری (SI)	عامل وزنی (WF)	عامل وزنی هر کلاس
طبقات ارتفاعی	۱۴۹۱-۱۵۰۰	۱	۰	۰/۰۰	۰/۰۰	۰/۰۰	۱/۱۶	۰/۰۰
	۱۵۰۰-۱۵۵۰	۴۴۱۳	۰	۰/۰۰	۰/۰۰	۰/۰۰		۰/۰۰
	۱۵۵۰-۱۶۰۰	۸۶۴۱۳	۲۹	۵۲/۷۳	۴۰/۴۱	۰/۱۰		-۰/۱۲
	۱۶۰۰-۱۶۵۰	۵۷۵۷۰	۲۴	۴۳/۶۴	۵۰/۲۰	۰/۳۲		۰/۳۷
	۱۶۵۰-۱۷۰۰	۲۵۶۳۰	۲	۳/۶۴	۹/۴۰	-۱/۳۵		-۱/۵۶
	۱۷۰۰-۱۸۴۹	۷۹۵۴	۰	۰/۰۰	۰/۰۰	۰/۰۰		۰/۰۰
جهت شیب	Flat	۶۲۴۰	۱	۱/۸۲	۶/۵۴	-۰/۶۳	۱/۲۴	-۰/۷۹
	N	۱۳۶۶۱	۳	۵/۴۵	۸/۹۶	-۰/۳۲		-۰/۴۰
	NE	۱۷۵۲۲	۱	۱/۸۲	۲/۳۳	-۱/۶۷		-۲/۰۶
	E	۲۰۰۰۰	۰	۰/۰۰	۰/۰۰	۰/۰۰		۰/۰۰
	SE	۲۷۵۴۴	۱۶	۲۹/۰۹	۲۳/۷۱	۰/۶۵		۰/۸۱
	S	۳۲۵۶۵	۱۰	۱۸/۱۸	۱۲/۵۴	۰/۰۲		۰/۰۲
	SW	۲۷۷۴۰	۱۰	۱۸/۱۸	۱۴/۷۲	۰/۱۸		۰/۲۲
	W	۲۱۱۷۴	۸	۱۴/۵۵	۱۵/۴۲	۰/۲۲		۰/۲۸
	NW	۱۰۵۲۵	۶	۱۰/۹۱	۱۵/۷۸	۰/۲۵		۰/۳۰
	مکعب	۳۵۹۰۹	۸	۱۴/۵۵	۲۶/۹۳	-۰/۳۰	۱/۰۱	-۰/۳۱
انحنا	مسطح	۱۳۵۲۲۱	۴۴	۸۰/۰۰	۳۹/۳۰	۰/۰۷		۰/۰۷
	محدب	۱۰۷۴۱	۳	۵/۴۵	۳۳/۷۶	-۰/۰۸		-۰/۰۸
	مقعر	۳۵۹۰۹	۸	۱۴/۵۵	۲۶/۹۳	-۰/۳۰	۱/۱۰	۰/۱۴
فاصله از رودخانه	۳۳۴-۷۳۰	۵۶۳۰۳	۱۸	۳۲/۷۳	۳۲/۳۸	۰/۰۶		۰/۰۶
	۷۳۰-۱۱۹۶	۳۷۰۷۰	۱۲	۲۱/۸۲	۳۲/۷۹	۰/۰۸		۰/۰۸
	۱۱۹۶<	۱۵۹۰۷	۰	۰/۰۰	۰/۰۰	۰/۰۰		-۰/۰۰
	تراکم زهکشی	۷۳۰۲۶	۱۳	۲۳/۶۴	۱۴/۹۶	-۰/۵۳	۱/۱۱	۰/۵۹
فاصله از گسل	۰/۰۲۸-۰/۰۵۶	۵۶۴۱۱	۲۹	۵/۲۷۳	۴۳/۲۱	-۰/۵۳		۰/۵۹
	۰/۰۵۶-۰/۰۹۶	۲۹۴۸۲	۷	۱۲/۷۳	۱۹/۹۶	-۰/۲۴		-۰/۲۷
	۰/۰۹۶-۰/۱۵	۲۳۰۶۲	۶	۱۰/۹۱	۲۱/۸۷	-۰/۱۵		-۰/۱۷
	>۴۰۳۰	۲۵۴۹۶	۳	۵/۴۵	۱۰/۰۵	-۰/۹۴	۱/۰۷	-۰/۳۰
فاصله از جاده	-۰-۱۲۸۵	۵۲۴۴۷	۱۲	۲۱/۸۲	۲۰/۰۵۲	-۰/۲۸		۰/۲۶
	۱۲۸۵-۲۵۷۱	۵۴۳۲۶	۲۱	۳۸/۱۸	۳۴/۶۶	۰/۲۵		۰/۲۵
	۲۵۷۱-۴۰۳۰	۴۹۷۱۲	۱۹	۳۴/۰۵	۳۴/۲۷	۰/۲۳		-۰/۲۵
	>۴۰۳۰	۲۵۴۹۶	۳	۰/۰۰	۱۰/۰۵	-۰/۹۴	۱/۰۱	-۱/۰۱
فاصله از شیب	-۰-۹۱۹	۶۶۱۰۱	۲۱	۳۸/۱۸	۲۷/۹۶	-۰/۰۵		۰/۰۵
	۹۱۹-۱۹۲۱	۶۰۰۹۶	۲۱	۳۸/۱۸	۳۰/۰۷۵	-۰/۱۵		۰/۱۵
	۱۹۲۱-۳۱۳۳	۳۹۰۰۳	۹	۱۶/۳۶	۲۰/۰۳۱	-۰/۲۷		-۰/۲۷
	۳۱۳۳-۵۲۴۷	۱۶۷۸۱	۴	۷/۲۷	۲۰/۰۹۸	-۰/۲۴	۱/۱۳	-۰/۲۴
شیب	-۰-۲	۱۱۴۰۷۵	۴۳	۷۸/۱۸	۶۱/۲۶	-۰/۲۲		۰/۲۵
	۲-۵	۵۰۳۳۷	۱۲	۲۱/۸۲	۳۸/۰۷۴	-۰/۲۴		-۰/۲۷
	۵-۱۰	۱۳۰۱۵	۰	۰/۰۰	۰/۰۰	-۰/۰۰		۰/۰۰
	۱۰-۲۲	۴۲۰۶	۰	۰/۰۰	۰/۰۰	-۰/۰۰		-۰/۰۰
	>۲۲	۳۴۸	۰	۰/۰۰	۰/۰۰	-۰/۰۰		-۰/۰۰

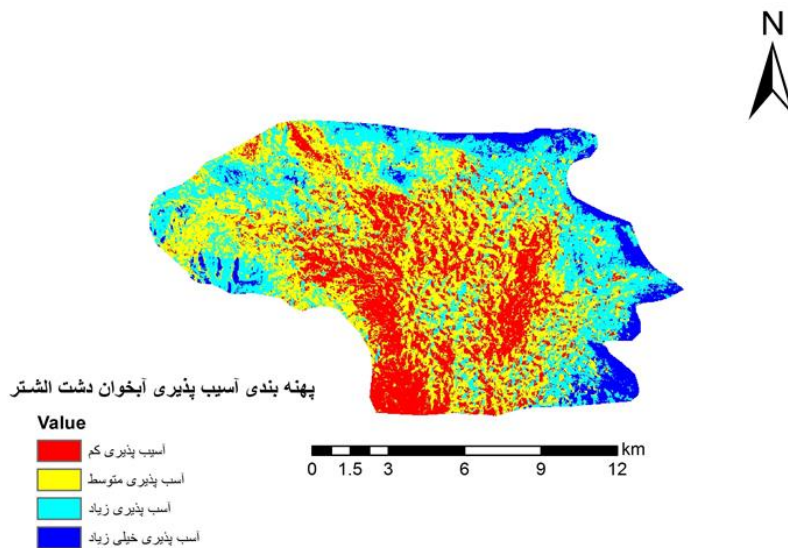


ادامه جدول ۱- ارتباط بین پارامترهای ورودی مدل و چاه های منطقه

پارامتر	کلاس طبقاتی پیکسل هر کلاس	تعداد	چاه	وقوع مطلق (%)	تراکم چاه (%)	شاخص آماری (SI)	عامل وزنی (WF)	عامل وزنی هر کلاس
نسبی رطوبت شاخص	->۷	۴۳۱۲۹	۱۰	۱۸/۱۸	۱۷/۰۶	-۰/۲۶	۱/۰۳	-۰/۲۷
	۷-۹	۸۵۹۶۲	۳۱	۵۶/۳۶	۲۶/۵۳	-۰/۱۸		۰/۱۸
	۹-۱۱	۳۲۸۸۸	۸	۱۴/۵۵	۱۷/۹۰	-۰/۲۲		-۰/۲۲
	۱۱-۱۴	۱۳۷۷۱	۵	۹/۰۹	۲۶/۷۱	-۰/۱۸		۰/۱۹
	۱۴-۲۱	۶۲۳۱	۱	۱/۸۲	۱۱/۸۱	-۰/۶۳		-۰/۶۵
شناسی سنج	JKbl	۱۲۶۳	۰	۰/۰۰	-۰/۰۰	-۰/۰۰	۱/۰۰	۰/۰۰
	MPlfgp	۲	۰	۰/۰۰	-۰/۰۰	-۰/۰۰		۰/۰۰
	MuPlaj	۳۷۴	۰	۰/۰۰	-۰/۰۰	-۰/۰۰		۰/۰۰
	Plbk	۱۱۵۴	۰	۰/۰۰	-۰/۰۰	-۰/۰۰		۰/۰۰
	Plc	۱۷۹۱۵۲	۰	۰/۰۰	-۰/۰۰	-۰/۰۰		۰/۰۰
	Qft2	۳۶	۵۵	۱۰۰/۰۰	۱۰۰/۰۰	۸/۵۳		۸۵/۲۸
بافت خاک رسی	سیلت لوم	۵۶۳۹	۰	۰/۰۰	-۰/۰۰	-۰/۰۰	۱/۰۵	۰/۰۰
	شن لومی	۸۳۸۹	۱	۱/۸۲	۱۴/۶۸	-۰/۹۳		۰/۹۷
	شن	۱۶۲۵۹۳	۵۲	۹۴/۵۵	۳۹/۳۸	-۰/۰۶		۰/۰۶
	رس سیلتی	۵۳۶۰	۲	۳/۶۴	۴۵/۹۴	-۰/۲۱		۰/۲۲
کاربری اراضی	زراعت آبی	21152	۵۲	۹۴/۵۵	۸۸/۵۲	-۰/۳۵	۱/۲۵	-۰/۴۴
	زراعت دیم	۵۳۸۸۰	۳	۵/۴۵	۱۱/۴۸	-۱/۶۹		-۲/۱۲
	محدوده شهر	3823	۰	۰/۰۰	-۰/۰۰	-۰/۰۰		۰/۰۰
	مرتع با تاج پوشش فقیر	۱۷۷۱	۰	۰/۰۰	-۰/۰۰	-۰/۰۰		۰/۰۰
	مرتع با تاج پوشش متوسط	۱۳۵۵	۰	۰/۰۰	-۰/۰۰	-۰/۰۰		۰/۰۰
شاخص توان حریان × ۱۰³	<۶۴	۱۱۴۰۷۵	۴۳	۷۸/۱۸	۶۱/۲۶	-۰/۲۲	۱/۳۷	۰/۲۵
	۶۴-۱۴۷	۵۰۳۳۷	۱۲	۲۱/۸۲	۳۸/۷۴	-۰/۲۴		-۰/۲۷
	۶۴-۲۹۳	۱۳۰۱۵	۰	۰/۰۰	-۰/۰۰	-۰/۰۰		۰/۰۰
	۲۹۳-۶۶۷	۴۲۰۶	۰	۰/۰۰	-۰/۰۰	-۰/۰۰		۰/۰۰
	>۶۶۷	۳۴۸	۰	۰/۰۰	-۰/۰۰	-۰/۰۰		۰/۰۰
عمق آب زیرزمینی	<۴۰	۲۴۱۵۴	۱	۱/۸۲	۱/۹۹	-۱/۹۹	۱/۳۷	-۲/۷۳
	۴۰-۶۰	۴۹۶۷۸	۳	۵/۴۵	۲/۹۰	-۱/۶۱		-۲/۲۱
	۶۰-۸۰	۸۵۴۹۶	۳۲	۵۸/۱۸	۱۸/۰۰	-۰/۲۱		۰/۲۹
	۸۰-۱۲۰	۲۱۳۳۶	۱۸	۳۲/۷۳	۴۰/۵۸	۱/۰۳		۱/۴۱
	۱۲۰-<	۱۳۱۷	۱	۱/۸۲	۳۶/۵۲	-۰/۹۲		۱/۲۷
بارش	<۵۰۰	۹۴۸	۰	۰/۰۰	-۰/۰۰	-۰/۰۰	۲/۳۶	۰/۰۰
	۵۰۰-۵۱۰	۱۵۸۱۱	۰	۰/۰۰	-۰/۰۰	-۰/۰۰		۰/۰۰
	۵۱۰-۵۱۴	۳۴۴۴۳	۳	۵/۴۵	۷/۵۶	-۰/۲۹		۰/۹۸
	۵۱۴-۵۱۶	۱۰۴۹۲۰	۴۱	۷۴/۵۵	۱۰۰/۰۰	۱/۲۹		۳/۰۵
	۵۱۶-۵۱۸	۲۰۵۱۷	۱۰	۱۸/۱۸	۴۲/۲۹	۱/۶۱		۳/۸۰
	۵۱۸-۵۲۱	۵۳۴۲	۱	۱/۸۲	۱۶/۲۴	-۰/۶۲		۱/۴۶



در نهایت، شاخص روش آماری (SI) برای هر پارامتر تهیه و با تلفیق پارامترهای ورودی، نقشه نهایی آسیب‌پذیری آبخوان داشت الشتر تهیه گردید. نقشه نهایی آسیب‌پذیری آبخوان، به چهار طبقه آسیب‌پذیری کم، آسیب‌پذیری متوسط، آسیب‌پذیری زیاد و آسیب‌پذیری خیلی زیاد تقسیم‌بندی شده که در شکل ۷ نشان داده شده است.



شکل ۷ - نقشه پنهنے بندی آسیب‌پذیری آبخوان داشت الشتر به روش SI

با توجه به شکل ۷، نواحی شمالی دشت از پتانسیل آسیب‌پذیری زیاد و خیلی زیاد، مناطق مرکزی دشت از پتانسیل آسیب‌پذیر کم و متوسط و نواحی شرقی دشت از پتانسیل آسیب‌پذیری خیلی زیادی برخوردار هستند. به علت اینکه حذف آلودگی از منابع آب زیرزمینی پرهزینه است، پنهنے بندی آسیب‌پذیری آبخوان داشت الشتر می‌تواند به عنوان ابزار ارزشمندی در اختیار مسئولان و متولیان قرار گیرد، تا با کمک آن بتوانند تصمیمات لازم را جهت کاربری اراضی و مدیریت آبخوان داشت الشتر اتخاذ کنند. این تصمیمات می‌توانند شامل اعمال مدیریت در مصرف کودهای کشاورزی و فاضلاب شهری به نقاط مطمئن‌تر و تغییر کاربری اراضی باشد.

## ۵- نتیجه گیری

در این تحقیق، پنهنے بندی آسیب‌پذیری آبخوان داشت الشتر با استفاده از پارامترهای وزنی، آمار دو متغیره و مدل SI در محیط سیستم اطلاعات جغرافیایی (GIS) تهیه شده است. نقشه پتانسیل آسیب‌پذیری بدست آمده، آسیب‌پذیری ذاتی آبخوان را نشان می‌دهد و می‌تواند به عنوان ابزار اولیه برای توسعه آتی منطقه به کار رود. پنهنے بندی آسیب‌پذیری آبخوان داشت الشتر، که از تلفیق نقشه‌های رستری پارامترهای وزنی با لحاظ کردن آمار دو متغیره در محیط GIS به دست آمد نشان می‌دهد که در منطقه داشت الشتر سنگ‌شناسی و بارش بیشترین و پارامترهای انحصاری و فاصله از جاده کمترین تاثیر را در تعیین آسیب‌پذیری آبخوان دارد.

## منابع

- [1] M. Chitsazan, and Y. Akhtari, "Evaluating the Potential of Groundwater Pollution in Kherran and Zoweircherry Plains through GIS-based DRASTIC Model", Journal of Water and Wastewater, Vol.17, pp. 39-51, 2006 (Persian).
- [2] K. Knodel, G. Lange, and H. J. Voigt, "Environmental Geology, Handbook Field Methods and Case Studies", Springer-Verlag, Berlin Heidelberg, 1357p, 2007.



[3] I.S. Babiker, M. A. Mohamed, T. Hiyama, and k. Kato, "A GIS-based DRASTIC model for assessing aquifer vulnerability in Kakamigahara Heights" GifuPrefecture, central Japan, Sci. Total Environ, Vol. 345, pp.127-140, 2005.

[4] J. Vrba, A. Zoporozec, "Guide book on mapping groundwater vulnerability", International Contribution for Hydrogeology, vol. 16, Hannover7 Heise ,1994.

[5] گ. شکری، ی. یوسفی فرد و ع.م آخوند علی، "بررسی تغییرات بیلان آب زیرزمینی دشت الشتر در بازه زمانی ۱۰ ساله (۹۱-۸۱)"، ارائه شده در اولین همایش ملی مهندسی و مدیریت کشاورزی، محیط زیست و منابع طبیعی پایدار، همدان، ۱۳۹۲.

[6] م. جعفری، ع. حقی زاده، ن. طهماسبی پور و ح. زینی وند، "ارزیابی آسیب پذیری آبخوان دشت الشتر نسبت به آلودگی‌های زیست محیطی با استفاده از مدل SI" ، ارائه شده در کنفرانس ملی کشاورزی پایدار، محیط زیست و توسعه روستایی، کوهدهشت، ۱۳۹۴.

[7] M.H. Hamza, A. Added, A. Frances , and R. Rodrguez, *Validatedel application desmethodes de vulnerabilite DRASTIC, SINTACS et SI aletude dela pollution par les nitrates dans la nappe phreatique de Metline-Ras Jebel-Raf Raf*. Comptes Rendus Geoscience, 339: pp. 493-505, 2007.

[8] M.H. Hamza, and A. Added, "Validity of Drastic and SI vulnerability methods", NATO Science for Peace and Security Series C: Environmental Security, Geospatial Visual Analytics, Part 7, pp. 395-407, 2009.

[9] M.H. Hamza, and A. Added, "Validity of Drastic and SI vulnerability methods", Laboratoire des Ressources Minérales et Environnement Département de géologie, Faculté des Sciences de Tunis, Université de Tunis El Manar, 2009.

[10] M. Meinhardt, M. Fink, and H. Tünschel, "Landslide susceptibility analysis in central Vietnam based on an incomplete landslide inventory: Comparison of a new method to calculate weighting factors by means of bivariate statistics" , Journal of Geomorfology, 2014.

[11] A. Hassani Pak, *Geostatistics* .Tehran University Press, 2010 (Persian).

[12] Y.S .Yang, and L.Wang. "GIS-based dynamic risk assessment for groundwater nitrate pollution from agricultural diffuse sources" , Journal of Jilin University, Vol. 37, pp. 311-318, 2007.

[13] ع. رحیمی‌فر، و. بردى شیخ و ع. بهره‌مند، "معرفی و تهیه نقشه شاخص رطوبت توپوگرافی TWI" ، ارائه شده در پنجمین کنفرانس سراسری آبخیزداری و مدیریت منابع آب و خاک کشور" ، کرمان، ۱۳۹۰.

[14] T.Y, Stigter, L. Ribeiro, and A.M.M Carvalho Dill, "Evaluation of an intrinsic and a specific vulnerability assessment method in comparison with groundwater assessment method in comparison with in to agricultural regions in the south of Portugal". Journal of Hydrol, Vol. 14, pp. 79-99, 2006.